

# Bassin Rhône-Méditerranée

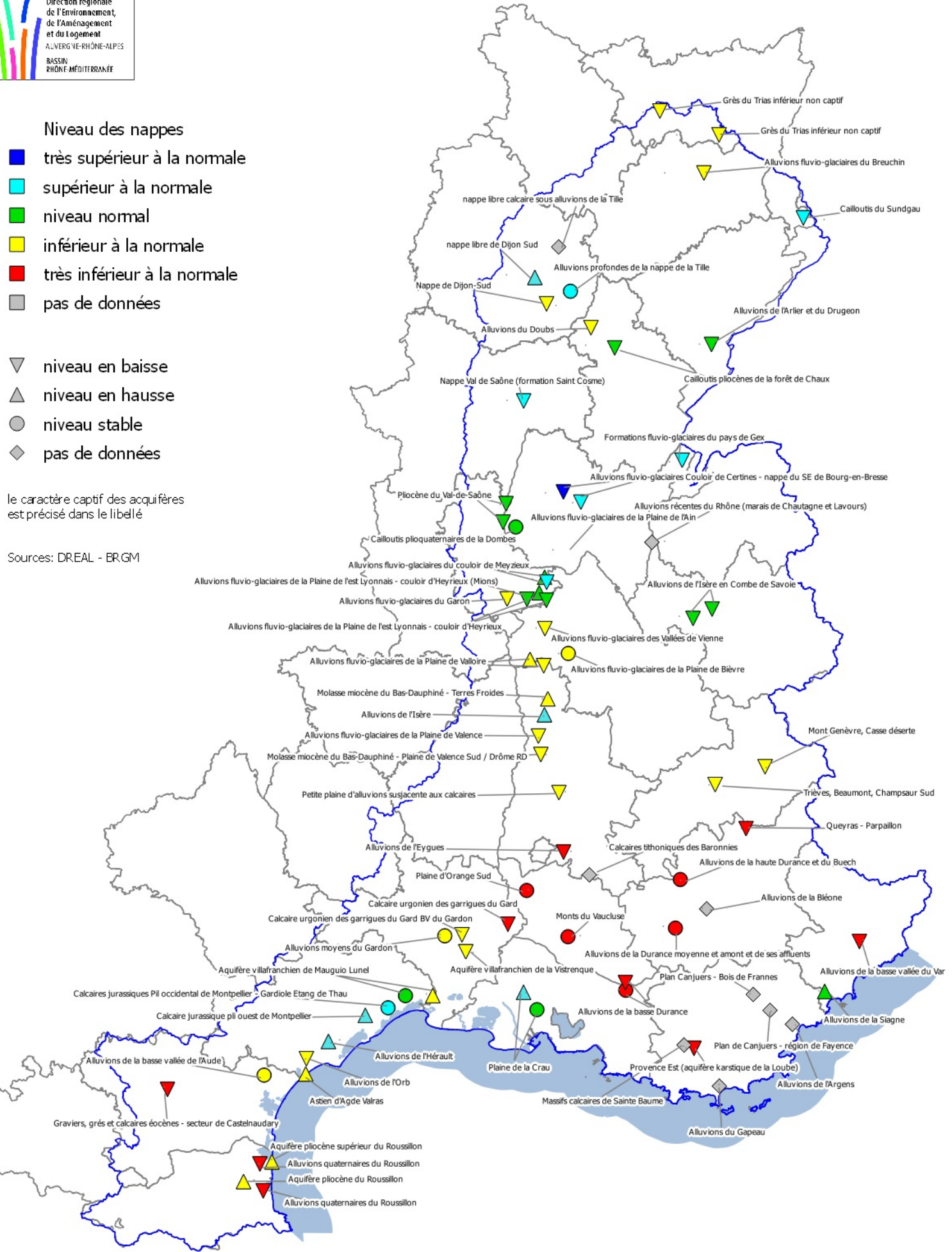
## Situation des ressources en eaux souterraines fin septembre 2016

Direction régionale de l'Environnement, de l'Aménagement et du Logement  
 AUVERGNE-RHÔNE-ALPES  
 BASSIN RHÔNE-MÉDITERRANÉE

- Niveau des nappes**
- très supérieur à la normale
  - supérieur à la normale
  - niveau normal
  - inférieur à la normale
  - très inférieur à la normale
  - pas de données
- ▼ niveau en baisse  
 ▲ niveau en hausse  
 ● niveau stable  
 ◆ pas de données

Le caractère captif des aquifères est précisé dans le libellé

Sources: DREAL - BRGM



# BSH - Indicateurs Ponctuels (IP) du bassin Rhône-Méditerranée

Etat au : **1<sup>er</sup> octobre 2016**

Relais bassin : DREAL bassin Rhône-Méditerranée

Producteurs(s) : BRGM et DREAL(s)

## Niveau des nappes :

Code	Signification
5	Très supérieur à la normale
4	Supérieur à la normale
3	Niveau normal
2	Inférieur à la normale
1	Très inférieur à la normale
0	Indéterminé

## Evolution

Code
H = Hausse
S = Stable
B = Baisse
Indéterminé



Code BSS (indice / désignation)	Région	Dépt.	Commune	Lieu-dit (ou nom du point)	Lambert 2 Etendu (m)		Entité hydrogéologique (Réf BDRHF v1)	
					X	Y	Nom	Code
03387X0040/S	LOR	88	RELANGES	piezomètre Srael de Relanges	872 960	2 353 300	Grès du Trias inférieur non captif	210b
03754X0015/F2	LOR	88	PLOMBIERE les Bains	F2 dit source La Napoléonienne	906 710	2 340 000	Grès du Trias inférieur non captif	210b
04447X0028	FRC	90	FLORIMONT	Etang Fourchu	955 010	2 293 220	Cailloutis du Sundgau	173
05553X0009	FRC	39	OUSSIÈRE	Oussière	848 465	2 218 410	Cailloutis plicéens de la forêt de Chauv	104a
05285X0374	FRC	39	MOLAY	Tavaux	834 860	2 229 830	Alluvions du Doubs	102
05573X0084	FRC	25	DOMMARTIN	Houtaud	903 460	2 220 820	Alluvions de l'Arlier et du Dugeon	94i
04103X0022	FRC	70	BREUCHES	Forage C	898 290	2 318 270	Alluvions fluvio-glaciaires du Breuchin	85
05007X0014	BOU	21	COLLONGES LES PREMIERES	Les Champs Courbes	823 040	2 250 420	Alluvions profondes de la nappe de la Tille	174a
04994X0229	BOU	21	CHENOVE	Gendarmerie	802 730	2 258 070	Nappe libre de Dijon Sud	174 b
05271X0017	BOU	21	IZEURE	La plantation F9	809 500	2 243 140	Nappe de Dijon-Sud	174b
04702X0019	BOU	21	SPOY	Les Espeliers	816 100	2 275 557	Nappe libre calcaire sous alluvions de la Tille	99 a
05797X0145	BOU	71	SAINT CYR	Le Petit Chorme de Vieil Moulin	796 970	2 187 840	Nappe Val de Saône(formation Saint Cosme)	174g
06288X0096/SB	RHA	01	GEX	Forage PzB - Belle Ferme	887 355	2 154 890	Formations fluvio-glaciaires du pays de Gex	177
06775X0010/BOU RSI	RHA	01	ANGLEFORT	Piezomètre de Boursin - BRGM	870 540	2 108 160	Alluvions récentes du Rhône (marais de Chautagne et Lavours)	542
06512X0037/STR EMY	RHA	01	ST REMY	Forage St Rémy - BRGM	819 980	2 136 280	Alluvions fluvio-glaciaires Couloir de Certines - nappe du SE de Bourg-en-Bresse	151a
06518X0026/P2	RHA	01	TOSSIAT	Forage de Tossiat (Mulaty)	829 960	2 130 600	Alluvions fluvio-glaciaires Couloir de Certines - nappe du SE de Bourg-en-Bresse	151a
06742X0001/VILLE	RHA	01	VILLENEUVE	Forage de Villeneuve (Muzard) - BRGM	793 109	2 116 187	Cailloutis plicoquaternaires de la Dombes	151a
06993X0226/MEXI 2	RHA	01	MEXIMIEUX	Forage de Combe Mercier (Meximieux 2)	823 425	2 103 250	Alluvions fluvio-glaciaires de la Plaine de l'Ain	151f
08435X0010/NO8	RHA	26	SAOU	Forage le Pertuis	818 927	1 965 401	Petite plaine d'alluvions susjacentes aux calcaires	179
07948X0038/S	RHA	26	ROMANS-sur-Isère	Piézo. de Romans (Les Balmes - La Ferme)	810 313	2 009 638	Alluvions de l'Isère	152m
08184X0084/PZ1	RHA	26	VALENCE	piezomètre Valence 2 (Nord Ferme Agiron)	807 001	1 997 439	Alluvions fluvio-glaciaires de la Plaine de Valence	154a
08915X0026/PZ	RHA	26	NYONS	piezomètre de Nyons	821 830	1 931 610	Alluvions de l'Eygues	155a
09153X0024/S	RHA	26	PLAISANS	Piézo. d'Âygues-Astaud (Les Eygaliers)	836 645	1 918 840	Calcaires tithoniques des Baronnies	544e
07704X0079/S	RHA	26	MANTHES	Piézo. de la source de Manthes (Lapailanche)	809 650	2 037 490	Alluvions fluvio-glaciaires de la Plaine de Valloire	152k
07944X0049/S	RHA	26	MARGES	Puit Deroux	812 155	2 018 705	Molasse miocène du Bas-Dauphiné - Terres Froides	152i
08188X0045/BER N	RHA	26	MONTMEYRAN	Piezomètre de Montmeyran (Bernoir)	808 450	1 986 990	Molasse miocène du Bas-Dauphiné - Plaine de Valence Sud / Drôme RD	152i
07464X0005/SM3	RHA	38	MOIDIEU-DETOURBE	Forage de Moidieu-Détourbe (Le Grand Champ)	810 150	2 058 550	Alluvions fluvio-glaciaires des Vallées de Vienne	152p
07703X0043/SDC	RHA	38	BOUGE-CHAMBALUD	forage de Bouge-Chambalud (Bel Air)	801 824	2 040 982	Alluvions fluvio-glaciaires de la Plaine de Valloire	152k
07476X0029/S	RHA	38	PENOL	piezomètre Bois des Burettes	823 560	2 044 566	Alluvions fluvio-glaciaires de la Plaine de Bièvre	152k
07266X0052/PS4	RHA	73	AITON	piezomètre d'Aiton	905 060	2 070 480	Alluvions de l'Isère en Combe de Savoie	325a
07494X0026/CRU ET	RHA	73	CRUET	piezomètre de Cruet - BRGM	894 310	2 065 030	Alluvions de l'Isère en Combe de Savoie	325a
06741X0046/F1PL IO	RHA	69	ST GEORGES DE RENEINS	Forage F1 Pliocène - BRGM	785 852	2 118 865	Pliocène du Val-de-Saône	540b
06505X0080/FOR C	RHA	69	TAPONAS	Piezomètre de Taponas	787 450	2 129 350	Pliocène du Val-de-Saône	540c
06995C0271/S	RHA	69	GENAS	piezomètre d'Azieu	810 100	2 086 770	Alluvions fluvio-glaciaires du couloir de Meyzieu	152c
06995C0208/S1	RHA	69	GENAS	Piezomètre des Bouvarets	810 920	2 084 985	Alluvions fluvio-glaciaires du couloir de Meyzieu	152c
07224X0106/S	RHA	69	ST PRIEST	piezomètre d'Heyrieux (Cheval-Blanc)	806 760	2 078 920	Alluvions fluvio-glaciaires de la Plaine de l'est Lyonnais - couloir d'Heyrieux	152e
07231C0252/BUCLAY	RHA	69	HEYRIEUX	piezomètre de Buclay	810 850	2 074 700	Alluvions fluvio-glaciaires de la Plaine de l'est Lyonnais - couloir d'Heyrieux	152e
07223C0113/S	RHA	69	CORBAS	piezomètre de Corbas (Pillon)	799 840	2 075 150	Alluvions fluvio-glaciaires de la Plaine de l'est Lyonnais - couloir d'Heyrieux (Mons)	152e
07221D0023/S	RHA	69	VOURLES	Piezomètre de Millery	788 520	2 075 240	Alluvions fluvio-glaciaires du Garon	621d
09934X0087	PACA	13	ST MARTIN DE CRAU	Le Mas d'Archimbaud (P18B)	799 788	1 851 732	Plaine de la Crau	157

Indicateur national	Niveau des nappes	Evolution récente	Commentaires
IG n°23	2	B	Suite aux faibles précipitations de ces derniers mois, la nappe des grès du Trias inférieur sur le bassin versant de la Saône poursuit sa décharge estivale. Les niveaux moyens pour le mois de septembre sont donc toujours en baisse avec des valeurs inférieures aux normales.
	4	B	Le niveau de la nappe des cailloutis du Sundgau est en légère Baisse au droit de Florimont. La période de retour de cette nappe est comprise entre 2,5 ans et 10 ans humide.
	3	B	Le niveau de la nappe des cailloutis plicéens de la forêt de Chauv est en baisse au droit d'Oussière. La période de retour de cette nappe est comprise entre 2,5 et 2,5 ans humide.
	2	B	La nappe des alluvions du Doubs à Molay est en baisse. La période de retour de cette nappe est alors comprise entre 2,5 et 10 ans sec.
	3	B	La nappe des alluvions de l'Arlier et du Dugeon est en baisse. La période de retour de cette nappe est comprise entre 2,5 et 2,5 ans humide.
IG n°24	2	B	La nappe des alluvions fluvio-glaciaires du Breuchin a un niveau en baisse. La période de retour de cette nappe est comprise entre 2,5 et 10 ans sec.
	4	S	Le niveau de la nappe des alluvions profondes de la nappe de la Tille est stable. La période de retour de cette nappe est comprise entre 2,5 ans et 10 ans ans humide. Le niveau de la nappe libre du sud de Dijon est en légère hausse par rapport au mois dernier au niveau de Chenove. La période de retour de cette nappe, au niveau de Chenove est comprise entre 2,5 ans et 10 ans ans humide. La nappe de Dijon-Sud est en baisse par rapport au mois dernier au niveau d'Izeure. La période de retour de cette nappe est comprise entre 2,5 ans et 10 ans ans sec. Pas de données disponible pour le piézomètre de Spoy. La nappe du val de Saône est en très légère baisse. La période de retour de cette nappe est comprise entre 2,5 ans et 10 ans humide.
	4	H	
	2	B	
	0	I	
4	B		
IG n°25	4	B	La nappe du Pays de Gex poursuit sa tendance à la baisse durant tout le mois de septembre. Ses niveaux se maintiennent à des valeurs élevées pour la saison (supérieurs aux hautes-eaux quinquennales). Dans le secteur du sillonn de Greny, les niveaux restent très bas, proches des minima observés. La situation relative de la nappe ne change pas.
	0	I	Absence de données
	5	B	La nappe des alluvions fluvio-glaciaires du couloir de Certines, poursuit sa tendance à la baisse courant septembre. En fin de mois, ses niveaux se situent autour de valeurs supérieures à la normale dans sa partie amont et très hautes dans sa partie aval. La situation relative de la nappe ne change pas par rapport au mois précédent.
	4	B	La nappe des cailloutis de la Dombes reste stable au cours du mois d'août. En fin de mois ses niveaux sont proches des valeurs moyennes de saison. La situation relative de la nappe ne change pas par rapport au mois précédent.
	3	S	La nappe des alluvions fluvio-glaciaires de la plaine de l'Ain, repart à la hausse dans les secteurs à forte pression de prélèvements ou se stabilise. Les niveaux se situent en fin de mois en dessous des normales de saison sauf dans la partie aval où ils restent proches de la moyenne saisonnière. La situation relative de la nappe ne change pas par rapport au mois précédent.
IG n°25	2	B	La nappe du synclinal de Saou (système mixte karst-alluvions), évolue à la baisse au cours du mois de septembre, ses niveaux en fin de mois sont proches des références quinquennales sèches. La situation relative de la nappe se dégrade par rapport au mois précédent.
	4	H	La nappe des alluvions anciennes de l'Isère en plaine de Romans évolue à la hausse au cours du mois de septembre. Ses niveaux se situent en fin de mois au-dessus des normales de saison au-dessus des moyennes saisonnières, mais restent dans les normales. La situation relative de la nappe ne change pas par rapport au mois précédent.
	2	B	La nappe des alluvions quaternaires en Plaine de Valence évolue toujours à la baisse au cours du mois de septembre. Ses niveaux, en fin de mois, se situent en dessous des normales de saison. La situation reste stable par rapport au mois précédent.
	1	B	La nappe d'accompagnement de la rivière Eygues, se stabilise au cours du mois de septembre. Ses niveaux se situent en fin de mois en dessous de la référence décennale sèche. La situation relative de la nappe reste stable par rapport au mois précédent.
	0	I	données non disponibles
IG n°25	2	B	La nappe des alluvions de la Plaine de Valloire est toujours en baisse régulière et lente au cours du mois de septembre. Les niveaux évoluent au cours du mois en dessous des valeurs normales de saison. La situation de la nappe reste stable par rapport au mois précédent.
	2	H	La nappe de la molasse miocène repart à la hausse ou se stabilise au cours du mois de septembre. Au nord du département les niveaux se maintiennent dans les normales de saison, en Drôme des collines et dans la plaine de Valence ils sont restés inférieurs aux normales de saison, mais supérieurs aux références quinquennales sèches. La situation de la nappe ne change pas par rapport au mois précédent.
	2	B	La nappe des alluvions fluvio-glaciaires des vallées de Vienne évolue à la baisse au cours du mois de septembre. Ses niveaux restent en dessous des valeurs normales de saison. La situation relative de la nappe reste stable par rapport au mois précédent.
	2	H	Les nappes des alluvions fluvio-glaciaires en Plaine de Bièvre-Liers-Valloire. Évolue à la baisse ou se stabilisent au cours du mois de septembre. En Valloire et en Bièvre, les niveaux évoluent en dessous des valeurs normales de saison, mais restent supérieurs aux références quinquennales sèches. Dans la plaine de Liers les niveaux restent proches des valeurs moyennes de saison. La situation relative de la nappe ne change pas par rapport au mois précédent sauf pour la plaine de Liers où elle s'améliore.
	2	S	
IG n°24	3	B	La nappe d'accompagnement de l'Isère en Combe de Savoie est en légère baisse ou se stabilise au cours du mois de septembre. Ses niveaux sont, en fin de mois, proches des valeurs normales de saison. La situation relative de la nappe reste stable par rapport au mois précédent.
	3	B	
	3	B	La nappe du Pliocène du Val de Saône, évolue toujours à la baisse au cours du mois de septembre. En fin de mois les niveaux sont inférieurs aux valeurs moyennes de saison, mais restent dans la normale. La situation relative de la nappe ne change pas rapport au mois précédent.
	3	H	La nappe de l'Est Lyonnais dans le couloir de Meyzieu évolue globalement à la baisse au cours du mois de septembre. Les niveaux évoluent autour de valeurs proches ou supérieures aux normales de saison. La situation reste stable par rapport au mois précédent
	4	B	
IG n°24	3	H	
	3	H	Sur le couloir d'Heyrieux, les niveaux évoluent globalement à la baisse, sauf en secteur influencé par les prélèvements où ils sont en hausse. Ils évoluent au cours du mois autour de valeurs proches des normales de saison. La situation de la nappe ne change pas par rapport au mois précédent.
	3	B	
	3	B	
	2	B	La nappe des alluvions fluvio-glaciaires de la vallée du Garon poursuit son évolution à la baisse courant septembre. Ses niveaux évoluent en dessous des valeurs normales de saison. La situation relative de la nappe ne change pas par rapport au mois précédent.
IG n°24	4	H	La situation piézométrique au mois du mois de septembre 2016 demeure stable dans les secteurs d'Arles et d'Istres par rapport aux niveaux du mois d'août. Dans le nord de la nappe (secteur de Saint-Martin-de-Crau) la nappe a également peu varié en valeur moyenne, mais des événements ponctuels ont permis en début de troisième décennie faire remonter la nappe (à 40 cm environ) qui a retrouvé son niveau précédent en fin de mois.

Code BSS (indice / désignation)	Région	Dépt.	Commune	Lieu-dit (ou nom du point)	Lambert 2 Etendu (m)		Entité hydrogéologique (Réf BDRHF v1)	
					X	Y	Nom	Code
10193X0151	PACA	13	ISTRES	Peyre-Estève (P29B)	807 453	1 841 949	Plaine de la Crau	157
09952X0082	PACA	13	MEYRARGUES	Péage Pont de Pertuis	857 870	1 853 429	Alluvions de la basse Durance	329f
09952X0093	PACA	84	PERTUIS	Campagne Martelly	857 624	1 857 733	Alluvions de la basse Durance	329f
09436X0138	PACA	05	LA BRILLANNE	Princesse	885 806	1 888 962	Alluvions de la Durance moyenne et amont et de ses affluents	329e
09146X0074	PACA	84	CAMARET-SUR-AIGUES	Quartier Jonquier Morelle	801 046	1 909 656	Plaine d'Orange Sud	155b
10247X0096	PACA	83	FREJUS	L'Argens	952 806	1 834 907	Alluvions de l'Argens	332
10651X0293	PACA	83	HYERES	Le Moulin Premier (P134B)	911 548	1 799 348	Alluvions du Gapeau	333
09995X0028	PACA	06	PEGOMAS	Le Boutéou	970 976	1 853 723	Alluvions de la Siagne	331
09724X0023	PACA	06	GILLETTE	Le Devens (P2)	990 486	1 882 246	Alluvions de la basse vallée du Var	330
09441X0013	PACA	04	MALLEMOISSON	Le Stade	903 460	1 900 062	Alluvions de la Bléone	329c
09172X0094/P	PACA	04	SISTERON	Puits Isnard	887 732	1 919 317	Alluvions de la haute Durance et du Buech	329b
08472X0007	PACA	05	LA ROCHE DE RAME	Usine	935 976	1 981 126	Mont Genève, Casse déserte	546j
08466X0009	PACA	05	ST JEAN ST NICOLAS	Les Ricoux	907 683	1 970 754	Trièves, Beaumont, Champsaur Sud	545a
08944X0003	PACA	04	LE LAUZET - UBAYE	La source Pruneyret	925 470	1 945 810	Queyras - Parpaillon	546k
09672X0036	PACA	84	FONTAINE-DE-VAUCLUSE	Sorgomètre, vasque supérieure	824 783	1 883 573	Monts du Vaucluse	162
10453X0295	PACA	83	LA ROQUEBRUSSANNE	Chemin de Cuers	896 946	1 820 685	Provence Est (aquifère karstique de la Loube)	552
10241X0173	PACA	83	LA MOTTE	Combaron	939 967	1 842 688	Plan de Carjurs - région de Fayence	168c
09978X0023	PACA	83	CHATEAUDOUBLE	Nartuby, Source des Frayères	930 341	1 851 639	Plan Carjurs - Bois de Frannes	167d
10452X0232	PACA	83	MAZAUGUES	source Le Caramy	891 265	1 822 558	Massifs calcaires de Sainte Baume	164a
09405X0229	LRO	30	ROCHEFORT DU GARD	piézomètre de Rochefort	790 541	1 890 360	Calcaire urgonien des garrigues du Gard	149a2
09395X0065	LRO	30	SAINTE ANASTASIE *	piézomètre Nicolas	764 488	1 884 139	Calcaire urgonien des garrigues du Gard BV du Gardon	149b
09388X0052	LRO	30	LA CALMETTE	piézomètre de Vignot	754 727	1 883 488	Alluvions moyens du Gardon	336c
09652X0199	LRO	30	NÎMES / COURBESSAC *	Piezomètre Courbessac	766 813	1 874 520	Alluvions quaternaires et Villafranchiennes de la Vistrenque	150a
09917X0192	LRO	34	MARSILLARGUES / P5	Piezomètre P5CEHM	748 165	1 849 435	Aquifère Villafranchien de maugio Lunel	328e
09915X0181	LRO	34	SAINTE-AUNES	piézomètre de Saint Aunes	732 653	1 849 259	Aquifère villafranchien de Maugio Lunel	328e
09907X0321	LRO	34	ST JEAN DE VEDAS *	Piezomètre Midi Libre	722 815	1 842 290	Calcaires jurassiques Pli occidental de Montpellier - Gardiole Etang de Thau	143c
10162X0226	LRO	34	COURNONSEC *	piézomètre de Vène	709 938	1 837 862	Calcaire jurassique pli ouest de Montpellier	143a
10157X0104	LRO	34	FLORENSAC *	piézomètre 1777	689 086	1 822 874	Alluvions de l'Hérault	334b
10405X0124	LRO	34	SERIGNAN	Sérignan F17	676 631	1 812 950	Alluvions de l'Orb	336
10405X0171	LRO	34	VALRAS	Valras	676 325	1 804 274	Astien d'Agde Valras	226
10592X0012	LRO	11	COUFFOULENS	piézomètre de Couffouliens	597 806	1 794 807	Alluvions de l'Aude	337b
10396X0162	LRO	11	MOUSSAN *	piézomètre de Védillan	652 664	1 803 412	Alluvions de la basse vallée de l'Aude	337a
10911X0219	LRO	66	ST HIPPOLYTE	Piezomètre Hippo	650 708	1 752 923	Alluvions quaternaires du Roussillon	146
10972X0003	LRO	66	ALENYA	Alenya	652 718	1 737 620	Alluvions quaternaires du Roussillon	146
10908X0263	LRO	66	PERPIGNAN	Piezomètre Figuières	641 491	1 742 808	Aquifère pliocène du Roussillon	225
10912X0112	LRO	66	LE BARCARES PN3	Piezomètre Barcarès plage N3	657502	1754148	Aquifère pliocène supérieur du Roussillon	225

Indicateur national	Niveau des nappes	Evolution récente	Commentaires
IG n°30	3	S	Ponctuels sont venus en début de troisième decade faire remonter la nappe (+40 cm environ), qui a retrouvé son niveau précédent en fin de mois. Par rapport aux statistiques des séries, dans le secteur de Saint-Martin-de-Crau, les niveaux moyens de septembre sont supérieurs aux niveaux médians comme l'étaient les niveaux moyens du mois d'août. A l'est et surtout à l'ouest, les niveaux sont en revanche sensiblement inférieurs à la médiane et proches du niveau quinquennal voire décennal sec (secteur d'Istres notamment).
	1	S	En basse Durance, comme durant le mois d'août, la nappe a baissé continûment entre le début et la fin du mois de septembre 2016. Cette baisse, conséquente (de -20 à -40 cm), est générale (seul le secteur de Villelaure a montré une remontée de la nappe en liaison possible avec l'irrigation gravitaire qui aurait perduré localement). En moyenne Durance, la situation est un peu plus contrastée puisque dans un même secteur certains points de suivi ont vu la nappe baisser comme en basse Durance, alors que d'autres (sur l'autre rive par exemple) ont montré une certaine stabilité piézométrique. Dans plusieurs piézomètres (Beaumont-de-Pertuis ou Estoublon par exemple, la nappe est même remontée au cours du mois). La situation est en général plus sévère que celle de septembre 2015, notamment en partie amont de la moyenne Durance : les niveaux de septembre 2016 sont inférieurs à ceux de septembre 2015 souvent de plus 10 cm. Dans les secteurs encore influencés par l'irrigation, les niveaux moyens mensuels sont globalement similaires à ceux de septembre 2015. Sur le plan statistique, les niveaux décennaux secs sont souvent atteints en basse Durance, mais aussi souvent en moyenne Durance. Seule la partie la plus en aval de la moyenne Durance conserve des niveaux proches des niveaux médians (légèrement inférieurs).
	1	B	
	1	S	
	1	S	Dans les nappes alluviales de Vaucluse (nappes des Plaines de Vaucluse et nappe du Rhône), ainsi que dans le Miocène du Comtat, et dans la continuité de juillet 2016, la baisse des nappes se constate quasiment partout (seule la nappe du Miocène se stabilise en septembre comme elle l'avait été en août). Cette baisse peut être faible (de l'ordre de -5 cm dans la partie nord des plaines de Vaucluse) ou plus marquée (-10 cm à Orange dans la partie sud de la nappe). Par rapport aux statistiques, les niveaux moyens de septembre 2016 sont souvent inférieurs aux niveaux médians.
	0	I	
	0	I	Les situations sont moins contrastées en septembre qu'en août 2016 : les nappes alluviales voient toutes les niveaux baisser, plus ou moins fortement (nappe de la Giscle-Môle : -30 cm, nappe du Var : -1,7 m en amont, stable en aval). Les niveaux moyens du mois de septembre 2016 sont peu différents de ceux septembre 2015 et les niveaux médians sont rarement atteints (sauf dans la nappe de la Giscle - Môle). Comme en août, dans les cas les plus défavorables (dans les Alpes-Maritimes notamment), les niveaux décennaux secs sont même dépassés.
	3	H	
	1	B	
	0	I	
IG n°29	1	S	Même si quasiment partout la tendance est à la baisse, les nappes dans les vallées de Montagne (comme la nappe du Drac par exemple) montre une remontée piézométrique durant la seconde moitié du mois de septembre 2016. Cette remontée fut cependant ponctuelle et limitée en ampleur (20 cm tout au plus) là où la baisse cumulée sur le mois fut de plus de 50 cm. Les niveaux moyens de septembre 2016 sont souvent similaires à ceux de septembre 2015 : d'un point de vue statistique, les niveaux moyens de septembre 2016 dans les secteurs de l'Ubaye et de la haute Durance sont situés entre les niveaux quinquennaux secs et décennaux secs, alors que dans la vallée du Drac, ils sont plus proches des niveaux médians bien qu'inférieurs à ceux-ci.
	2	B	
	2	B	
	1	B	
	1	S	
	1	B	Les débits d'août 2016 à la Fontaine-de-Vaucluse sont très bas et ont diminué pendant tout le mois : ils sont passés de 4,1 m³/s le 1er septembre à environ 3,7 m³/s le 29 septembre (les données de débits sont relativement incertaines dans cette plage de la courbe de tarage). Le débit moyen de 4 m³/s du mois de septembre 2016 est du même ordre que ceux des deux mois précédents et correspond au débit décennal sec de septembre (4,03 m³/s). Les autres ressources karstiques ont le même comportement que celui de la Fontaine-de-Vaucluse : des courbes de tarissement non influencé conduisant à un étiage prononcé.
	0	I	
	0	I	
	0	I	
	1	B	Malgré le contexte de précipitations significatives, les niveaux piézométriques sont en baisse, la situation de l'aquifère reste déficitaire.
IG n°26	2	B	Malgré le contexte de précipitations significatives, les niveaux piézométriques sont en baisse, la situation de l'aquifère se détériore et devient défavorable.
	2	S	En contexte de précipitations significatives, les niveaux piézométriques sont stables, la situation de l'aquifère reste défavorable.
	2	B	En contexte de précipitations limitées depuis septembre 2015, la situation reste inférieure aux normales
	2	H	En contexte de précipitations significatives, les niveaux piézométriques sont en hausse, la situation de l'aquifère reste défavorable.
	3	S	En contexte de précipitations limitées, les niveaux piézométriques sont stables, la situation de l'aquifère reste normale.
	4	S	En contexte de précipitations limitées, les niveaux piézométriques sont stables, la situation de l'aquifère reste favorable.
	4	H	En contexte de précipitations significatives, les niveaux piézométriques sont en hausse, la situation de l'aquifère s'améliore et devient favorable.
IG n°27	4	H	En contexte de précipitations significatives, les niveaux piézométriques sont en hausse, la situation de l'aquifère s'améliore et devient favorable.
	2	B	En contexte de précipitations limitées, les niveaux piézométriques sont en baisse, la situation de l'aquifère se détériore et devient défavorable.
	2	H	Les niveaux sont bas pour la période notamment sur les zones de recharges (Clairac), avec une piézométrie sous le niveau d'alerte. Le déficit de précipitation continue à s'accroître sur le Biterrois. La remontée des niveaux est liée à la baisse de la pression de prélèvement sur cette nappe captive et sur les terrains de couverture permettant ainsi une alimentation par des phénomènes de drainance
	1	B	En contexte de faibles précipitations, les niveaux piézométriques sont en baisse, la situation de l'aquifère reste déficitaire.
IG n°28	2	S	En contexte de faibles précipitations, les niveaux piézométriques sont stables, la situation de l'aquifère reste défavorable.
	1	B	En contexte de précipitations estivales déficitaires et suite à une faible recharge hivernale, la situation reste très inférieure aux normales et les niveaux restent orientés à la baisse
	1	B	En contexte de précipitations estivales déficitaires, la situation reste très inférieure aux normales et les niveaux restent orientés à la baisse
2	H	En contexte de précipitations limitées, la situation reste sous les normales dans ce secteur peu influencé par les prélèvements avec néanmoins une tendance à la hausse liée à la baisse de la pression de prélèvement depuis début septembre	
2	H	En contexte de précipitations limitées, la situation reste sous les normales dans ce secteur peu influencé par les prélèvements avec néanmoins une tendance à la hausse liée à la baisse de la pression de prélèvement depuis début septembre	

En contexte de précipitations significatives sur le Gard et l'Hérault, les niveaux piézométriques sont dans l'ensemble en hausse pour les karsts montpelliérains et en baisse sur les karsts nîmois. Les situations se détériorent sur le secteur gardois, elles vont de déficitaires à défavorables. Pour les secteurs héraultais, les situations s'améliorent et sont comprises entre normale et favorable.

En contexte de faibles précipitations sur les secteurs de l'Orb et de l'Aude, les niveaux piézométriques sont soit stables, soit en baisse. Les situations sont comprises entre déficitaire et défavorable. Sur les alluvions de l'Hérault en contexte de précipitations significatives, les niveaux piézométriques sont en hausse, les situations sont favorables.

En contexte de faibles précipitations depuis septembre 2015, les situations vont de inférieures à très inférieures aux normales sur les aquifères du Plio-Quaternaire. Sur le pliocène captif, la baisse de la pression de prélèvement depuis début septembre permet d'amorcer une remontée des niveaux mais la situation demeure préoccupante pour les secteurs « Bordure Côtière Nord », « Aspres -Réart » et « Agly Salanque »